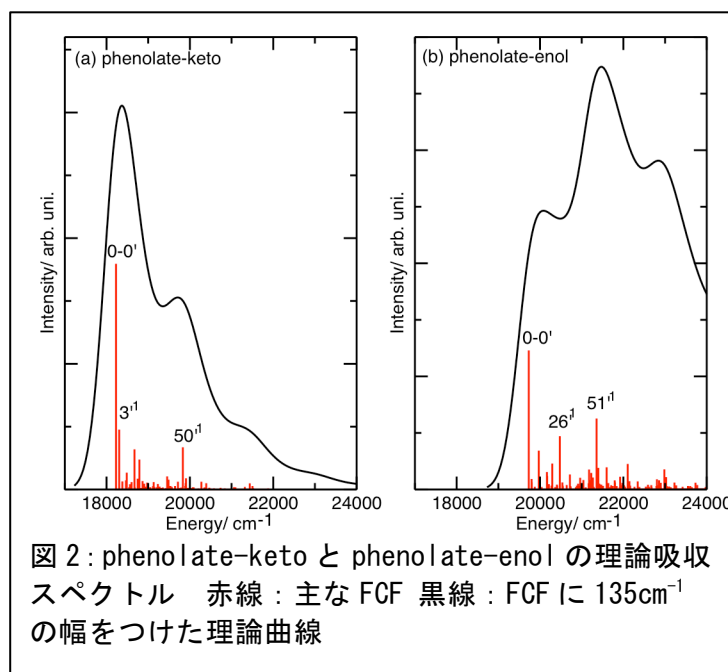


スペクトルの強度を与える遷移双極子モーメントは、近似的に始状態と終状態間のフランク・コンドン因子 (FCF) に比例する。オキシルシフェリンとその共役塩基の基底状態 (S_0) と第一励起状態 (S_1) の振動波動関数を得るため、密度汎関数法 (CAM-B3LYP/AUG-cc-pVTZ) を用いて S_0 と S_1 状態それぞれの安定構造の振動解析を行った。溶媒効果は連続誘電体モデル (PCM) により取り入れた。FCF とスペクトル形状を見積るために、Barone らにより発展された方法 [8] を用いた。

【結果】図 2 に phenolate-keto と phenolate-enol の理論吸収スペクトルを示す。これらのスペクトルに共通する特徴は、低エネルギーのピークが主に 0-0' バンドと S_1 の NCC 対称変角振動への振電遷移からなることと、高エネルギー側に S_1 の CS 対称伸縮・骨格平面振動への振電遷移が現れることである。図 2 (a) に示すように phenolate-keto は、0-0' バンドの遷移強度がもっとも強く、 S_1 の対称 NCC 変角振動 (3^1) と二つの環間の S_1 の CC 対称伸縮振動 (50^1) への振電遷移以外の遷移強度は小さい。このため、吸収スペクトルの形状は 0-0' バンド付近に主ピークをもつ形状となる。

一方、図 2 (b) に示すように、phenolate-enol の場合も、0-0' バンドの遷移強度が最も強い。しかし、0-0' バンドを含むピークは必ずしも最も強度の大きいピークではない。これは、高エネルギー側にある S_1 の骨格平面振動 (51^1) への振電遷移付近の結合音と倍音の影響が大きいためであることが明らかになった [9]。



参考文献

- [1] O. Shimomura, Bioluminescence: Chemical Principles and Methods 1-29 (World Scientific, New Jersey, 2006).
- [2] N. Suzuki et al. Tetrahedron letters 53, (1969) 4683.
- [3] O. Gandelman, et al., J. Photochem. Photobiol. B19 (1993) 187.
- [4] P. Naumov, et al., J. Am. Chem. Soc., 131 (2009) 11590.
- [5] M. Rebarz, et al. (2013) Chemical Science 4, 3803.
- [6] A. Ghose et al. (2015) J. Chem. Phys. B in press
- [7] M. Hiyama et al. (2013) Chem. Phys. Lett. 577, 121.
- [8] V. Barone et al. (2009) J. Chem. Theory Comput. 5, 540.
- [9] M. Hiyama et al. (2015) Photochem. Photobiol. 91, 819.